李木楠, 李双双, 孟凡爽, 等. 抑制 miR-29a-3p 表达对小鼠巨噬细胞凋亡的影响及机制[J]. 华南农业大学学报, 2018, 39(1): 64-69.

抑制 miR-29a-3p 表达对小鼠巨噬细胞凋亡的 影 响 及 机 制

李木楠^{1,2},李双双¹,孟凡爽¹,韩鹏¹,张文慧^{1,2},张林波^{1,2} (1 吉林农业大学生命科学学院,吉林长春 130118; 2 生物反应器与药物开发教育部工程研究中心,吉林长春 130118)

摘要:【目的】研究 miR-29a-3p 下调表达对小鼠巨噬细胞凋亡及相关基因表达的影响,为探讨结核病发病机制、研发新的诊断与治疗方法提供依据。【方法】将重组抑制载体 pEZX-AM02-miR-29a-3p 转染 RAW264.7 细胞, 24、36 和 48 h 荧光显微镜观察转染效率, Real time-PCR 法检测 miR-29a-3p 及凋亡相关基因 caspase3、caspase7、caspase8、Bcl-2、Mcl-1 和 Bax 的表达水平,流式细胞术检测 RAW264.7 细胞的凋亡率。【结果】重组抑制载体转染后,细胞内 miR-29a-3p 表达水平明显下降;而 caspase7、caspase8、Bcl-2、Mcl-1 和 Bax 等基因的表达出现不同程度的上调;流式细胞术分析发现随着转染时间延长,细胞凋亡率增加,且 36 h 凋亡率最高。【结论】pEZX -AM02-miR-29a-3p 重组载体可抑制小鼠巨噬细胞中 miR-29a-3p 的表达,通过靶向上调 caspase7、caspase8、Bcl-2 和 Mcl-1 等基因的表达促进巨噬细胞的凋亡。

关键词: miR-29a-3p; 抑制载体; 巨噬细胞; 细胞凋亡; 靶基因

中图分类号: S854.4 文献标识码: A 文章编号: 1001-411X(2018)01-0064-06

Mechanism and influence of down-regulation of *miR-29a-3p* expression on apoptosis in mouse macrophage

LI Munan^{1,2}, LI Shuangshuang¹, MENG fanshuang¹, HAN Peng¹, ZHANG Wenhui^{1,2}, ZHANG Linbo^{1,2}
(1 College of Life Science, Jilin Agricultural University, Changchun 130118, China; 2 Engineering Research Center for Bioreactor and Pharmaceutical Development, Ministry of Education, Changchun 130118, China)

Abstract: 【Objective】 To study the influence of down-regulation of miR-29a-3p expression on apoptosis in mouse macrophage and expression of apoptosis-associated genes, and provide references for investigating the pathogenesis mechanism of mycobacterium tuberculosis (MTB) and developing new diagnosis and treatment methods. 【Method】 The recombinant inhibitor vector pEZX-AM02-miR-29a-3p was transfected into RAW264.7 cells. Transfection efficiency was observed through fluorescence microscopy, the expression levels of miR-29a-3p and apoptosis-associated genes caspase3, caspase7, caspase8, Bcl-2, Mcl-1 and Bax were detected by RT-PCR, and the apoptosis rates of RAW264.7 cells were detected by flow cytometry at 24, 36, 48 h after transfection. 【Result】 After transfected with pEZX-AM02-miR-29a-3p recombinant inhibitor vector, miR-29a-3p expression in RAW264.7 cells decreased significantly, while the target genes caspase7, caspase8, Bcl-2, Mcl-1 and Bax were up-regulated at different levels. The results of flow cytometry indicated that the apoptosis rates increased as the transfection time progressed and reached the peak at 36 h. 【Conclusion】 The

收稿日期:2017-04-11 优先出版时间:2017-12-29

优先出版网址:http://kns.cnki.net/kcms/detail/44.1110.S.20171229.1131.010.html

作者简介: 李木楠 (1990—), 女, 硕士研究生, E-mail: 951623271@qq.com; 通信作者: 张文慧 (1977—), 女, 副教授, 博士, E-mail: whz.jl@qq.com; 张林波 (1973—), 男, 教授, 博士, E-mail: cczlb@126.com

基金项目:吉林省科技发展计划项目 (20130101105JC, 20140204018YY);吉林省教育厅"十三五"科学技术项目 (2016-177JJKH20170304KJ);吉林农业大学博士科研启动基金 (2015015)

expression of *miR-29a-3p* in mouse macrophage are inhibited by transfecting with pEZX-AM02-miR-29a-3p, which promotes the apoptosis of macrophage by up-regulating the expression of target genes, such as *caspase7*, *caspase8*, *Bcl-2* and *Mcl-1*.

Key words: miR-29a-3p; inhibitor vector; macrophage; cell apoptosis; target gene

微小 RNA(microRNA, miRNA) 是一类长度约 为 20~25 个核苷酸的非编码 RNA^[1], miRNA 可与 靶 mRNA 分子的 3'非翻译区 (3'UTR) 结合,抑制 mRNA 的翻译,以抑制靶蛋白的表达,进而影响细 胞的生长、发育、凋亡等过程^[2]。结核病 (Tuberculosis, TB) 是由结核分枝杆菌 Mycobacterium tuberculosis (MTB) 感染所引起的一种人畜共患传染病。MTB 为胞内寄生菌,主要宿主是巨噬细胞。巨噬细胞具 有吞噬与消化异物的功能,是抵抗呼吸道传播疾病 免疫反应中最早的效应细胞,是机体抗细菌感染的 首道防线[3]。MTB 进入肺部后,肺泡巨噬细胞可通 过模式识别受体对 MTB 进行识别、结合、吞噬,激 活细胞内免疫反应,发挥抗结核作用来清除感染。 MTB 也可以通过自身结构或分泌蛋白、酶等抵抗宿 主细胞的免疫杀伤,从而在巨噬细胞中存活[4-6]。研 究发现 MTB 入侵巨噬细胞后, miRNA参与了机体 抗结核感染的过程[7]。Das 等 [8]用 H37Rv 和 H37Ra 侵染 THP-1 巨噬细胞后, THP-1 细胞中 miR-29a-3p 表达量升高, miRNA 表达微阵列显示 分别上调了 1.86 和 1.56 倍, 吉林农业大学病原微 生物与免疫学科研团队前期试验发现用 H37Rv、 H37Ra 和 BCG 侵染巨噬细胞后, miR-29a-3p 表达 出现不同程度的上调^[9],由此推测 miR-29a-3p 在一 定程度上参与了 MTB 的侵染过程[8-10]。

本研究利用 Target Scan、miRDB、PicTar 等生物信息学软件查找 miR-29a-3p 靶基因并设计引物,通过转染 pEZX-AM02-miR-29a-3p 载体抑制小鼠巨噬细胞中 miR-29a-3p 的表达,观察转染后巨噬细胞凋亡率及相关靶基因表达水平的变化,探讨 miR-29a-3p 在巨噬细胞抗 MTB 感染机制中的作用,为揭示结核病发病机制提供试验依据。

1 材料与方法

1.1 材料

DMEM 培养基、胎牛血清 (FBS)、Trizol 试剂、GeneMark 无内毒素质粒抽提试剂盒、pEZX-AM02-miR-29a-3p 抑制载体及阴性对照、反转录引物、反转录试剂盒、荧光定量试剂盒、miR-29a-3p 引物及内参基因为 RNU6、转染试剂 EndoFectin™-Max 购于 GeneCopoeia; 靶基因引物由上海生工合成; http://xuebao.scau.edu.cn

Annexin V-Alexa Fluor 647/PI 凋亡检测试剂盒购于康润公司。B31614 高速冷冻离心机 (德国贝克曼); Infinite 2000 酶标仪 (TECAN); DL-CJ-2ND 超净台 (北京东联哈尔仪器制造有限公司); NU-5500E CO2 恒温培养箱 (NUAIR 上海压缩机有限公司); AX10 荧光倒置显微镜 (德国卡尔蔡司); ETC811 PCR 仪 (东胜创新生物科技有限公司); Mx3000P 荧光定量 PCR 仪 (安捷伦科技有限公司); C6 流式细胞仪 (美国 BD)。

1.2 方法

1.2.1 巨噬细胞培养 RAW 246.7 细胞由吉林农业大学病原微生物与免疫学科研团队冻存, 37 $^{\circ}$ 水浴复苏后接种于 DMEM 完全培养基 (含体积分数 10% 的 FBS), 在 37 $^{\circ}$ 、体积分数为 5% $^{\circ}$ CO₂ 的恒温培养箱中培养,显微镜下观察细胞状态和培养基颜色,适时更换培养液,取对数生长期的细胞接种于 6 孔细胞培养板。

1.2.2 抑制载体转化 将 pEZX-AM02-miR-29a-3p 抑制载体及阴性对照载体转化于大肠埃希菌 DH5α 感受态细胞,涂布于含氨苄抗性的 LB 培养基平板上,37 ℃ 条件下过夜培养后,从平板上挑取菌落至氨苄抗性的 LB 液体培养基中,37 ℃ 条件下摇床培养,第3天取菌液10 mL 按试剂盒说明书提取质粒,酶标仪检测质粒纯度和浓度,提取的质粒用于细胞转染。

1.2.3 载体转染 采用脂质体瞬时转染法,当细胞生长达到对数生长期时,以1000 r·min⁻¹ 离心 5 min,收集细胞、重悬、计数,将浓度调整为2×10⁵ mL⁻¹ 接种于6孔细胞培养板,于培养箱内培养,待细胞汇合度达到70%~80%时进行转染。按照转染试剂说明书操作,试验组细胞转染pEZX-AM02-miR-29a-3p,抑制载体对照组细胞转染pEZX-AM02,转染试剂对照组只添加转染试剂,空白对照组细胞不做任何处理,每组3个重复。携带红色荧光蛋白报告基因的pEZX-AM02 载体,转染进细胞并成功表达会在显微镜下出现红色荧光,可于倒置荧光显微镜下观察细胞生长与质粒转染情况。

1.2.4 荧光定量 PCR 检测 RAW 246.7 细胞在转染 24、36 和 48 h 后, 采用 Trizol 法提取细胞总 RNA。将总 RNA (1 μg) 逆转录为 miRNA 反应所需

的 cDNA, 反应程序为 37 $^{\circ}$ C 60 min, 85 $^{\circ}$ C 5 min。 将细胞总 RNA(1 μ g) 反转录为 cDNA, 反应程序为 两步法: 第 1 步 65 $^{\circ}$ C 5 min; 第 2 步 42 $^{\circ}$ C 60 min, 85 $^{\circ}$ C 5 min。 miRNA 反应以通用引物为上游引物 及 All-in-One miRNA qPCR primer 为实时定量 miRNA 特异引物,使用 SYBR 法扩增 miR-29a-3p 片段,以 *RNU6B* 作为内参。miRNA 反应以 *β-actin* 作为内参。反应条件为: 95 $^{\circ}$ 变性 10 s, 60 $^{\circ}$ 退火 20 s, 72 $^{\circ}$ 延伸 15 s, 重复 40 个循环。 C_t 值根据 2^{-ΔΔ C_t}算法处理得到基因的相对表达量, 结果以平均 值±标准差表示。基因及引物序列见表 1。

表 1 基因引物序列

Tab. 1 Sequences of gene primers

基因	上游引物(5'→3')	下游引物(5'→3')
caspase3	TCTGACTGGAAAGCCGAAAC	GCAAGCCATCTCCTCATCA
caspase7	AAACCCTGTTAGAGAAACCCAA	TAAGCAAAGAGGAAGTCGGC
caspase8	GCTGCCCTCAAGTTCCTGT	GATTGCCTTCCTCCAACATC
Bcl-2	GGTGGAGGAACTCTTCAGGG	ACATCTCCCTGTTGACGCTC
Bax	ATGCGTCCACCAAGAAGC	CAGTTGAAGTTGCCATCAGC
Mcl-1	TGTAAGGACGAAACGGGACT	CAAAAGCCAGCAGCACATT

1.2.5 检测细胞凋亡率 转染细胞培养至 24、36 和 48 h,用流式细胞术检测凋亡率。将培养箱中转染的细胞板取出,去上清液后加入 PBS 溶液洗涤 1 次,用胰酶消化使贴壁细胞悬浮,1 000 r·min⁻¹离心 10 min,弃培养基用 4 $^{\circ}$ 预冷的 PBS 溶液洗细胞 2 次,用 250 $^{\circ}$ μL 1×Binding Buffer 重新悬浮细胞,调节其浓度为 1×10 $^{\circ}$ mL⁻¹,取 100 $^{\circ}$ μL 的细胞悬液于 5 mL 流式管中,加入 5 $^{\circ}$ μL Annexin V/Alexa Fluor 647,室温避光孵育 5 min 后加入 20 $^{\circ}$ μg·mL⁻¹的碘化丙啶溶液 10 $^{\circ}$ μL,避光室温反应 15 min,在反应管中加 400 $^{\circ}$ μL PBS 溶液,进行流式细胞仪分析。

1.3 数据处理

Alexa Fluor 647/PI 双染试剂盒检测正常细胞、死亡细胞、晚期凋亡及早期凋亡所占的比例;将Alexa Fluor 647+/PI-判断为早期凋亡, Alexa Fluor

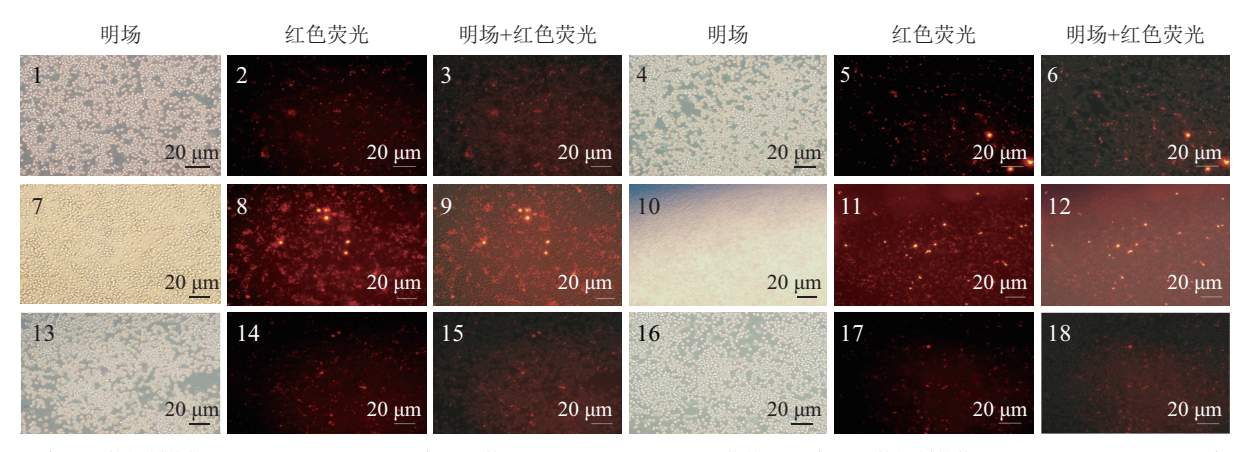
647+/PI+判断为晚期凋亡,以上2种凋亡率相加即总凋亡率。分别检测各试验组24、36和48h的细胞凋亡率,结果以平均数±标准差表示。

利用流式细胞仪 CFlow Plus 软件分析结果。 荧光定量 PCR 及流式分析结果所有数据均采用 GraphPad Prism 6 统计软件进行方差分析及 t 检验。

2 结果与分析

2.1 pEZX-AM02-miR-29a-3p 载体转染

携带红色荧光蛋白报告基因的 pEZX-AM02 载体,转染进细胞并成功表达会发出红色荧光。利用荧光显微镜观察细胞内荧光蛋白的表达情况,发现对照抑制载体 pEZX-AM02 和 pEZX-AM02-miR-29a-3p 抑制载体都成功转入细胞,并在细胞内成功表达(图 1),从图 1 可以看出 36 h 转染效果最佳,效率最高。



1~3 为 24 h 的抑制载体对照 (pEZX-AM02); 4~6 为 24 h 的 pEZX-AM02-miR-29a-3p 载体; 7~9 为 36 h 的抑制载体对照 (pEZX-AM02); 10~12 为 36 h 的 pEZX-AM02-miR-29a-3p 载体; 13~15 为 48 h 的抑制载体对照 (pEZX-AM02); 16~18 为 48 h 的 pEZX-AM02-miR-29a-3p 载体

图 1 miRNA 抑制对照以及 pEZX-AM02-miR-29a-3p 转染 RAW264.7 细胞

Fig.~1~RAW264.7~cells~tranfected~with~miRNA~inhibitor~control~or~pEZX-AM02-miR-29a-3p

2.2 miR-29a-3p 与靶基因的表达

转染 24、36 和 48 h 不同处理组凋亡相关基因 的表达见图 2。与空白对照组、转染试剂对照组及 抑制载体对照组相比,转染 pEZX-AM02-miR-29a-3p 载体后, miR-29a-3p 表达量降低, 24、36 和 48 h 表达量分别为 0.16±0.01、0.04±0.01 和 0.09±0.01。 与空白对照组、转染试剂对照组及抑制载体对照组 相比, pEZX-AM02-miR-29a-3p 抑制载体组中 miR-29a-3p 的靶基因 caspase3、caspase7、caspase8、Bcl-2、Mcl-1 等都随着转染时间的延长,发生了不同程 度的变化且差异显著。与其他各对照组相比,转染 24、36 h 时 pEZX-AM02-miR-29a-3p 抑制载体组中 caspase3 相对表达量升高,48 h 相对表达量降低, 24、36 和 48 h 的相对表达量分别为 2.66±0.02、 2.09±0.05 和 0.64±0.01。与其他各对照组相比,转 染 24、36 和 48 h 时 pEZX-AM02-miR-29a-3p 抑制 载体组中 caspase7 相对表达量升高, 24、36 和 48 h 分别为 7.41±0.10、11.08±0.08 和 1.20±0.06。与其他 各对照组相比, 转染 24、36 h 时 pEZX-AM02-miR-29a-3p 抑制载体组中 caspase8 相对表达量升高,转 染 48 h 时, 与转染试剂对照组及抑制载体对照组相

比 caspase8 相对表达量升高, caspase8 在转染 24、 36 和 48 h 的相对表达量分别为 3.53±0.08、3.78± 0.03 和 1.91±0.09。与其他各对照组相比, 在转染 36、48 h 时 pEZX-AM02-miR-29a-3p 抑制载体组中 Bcl-2 相对表达量升高, 在转染 24 h 时与抑制载体 对照组相比 Bcl-2 相对表达量升高, 24、36 和 48 h 的相对表达量分别为 1.41±0.02、2.58±0.05 和 7.75±0.19。与空白对照组、转染试剂对照组相比,转 染 24 h 时 pEZX-AM02-miR-29a-3p 抑制载体组中 Bax 相对表达量升高;与其他各对照组相比,在转 染 36、48 h 时 pEZX-AM02-miR-29a-3p 抑制载体组 中 Bax 相对表达量升高, 24、36 和 48 h 的相对表达 量分别为 3.00±0.08、16.15±0.17 和 6.65±0.14。 在转 染 24 h 时, 与抑制载体对照组相比, pEZX-AM02miR-29a-3p 抑制载体组中 Mcl-1 相对表达量降低, 与空白对照组、转染试剂对照组相比 Mcl-1 相对表 达量不变;与其他各对照组相比,在转染36、48 h 时 pEZX-AM02-miR-29a-3p 抑制载体组中 Mcl-1 相 对表达量升高,24、36 和 48 h 的相对表达量分别为 1.48±0.01、11.55±0.08 和 5.69±0.14。与空白对照 组、抑制载体对照组相比,转染 24 h 时 pEZX-

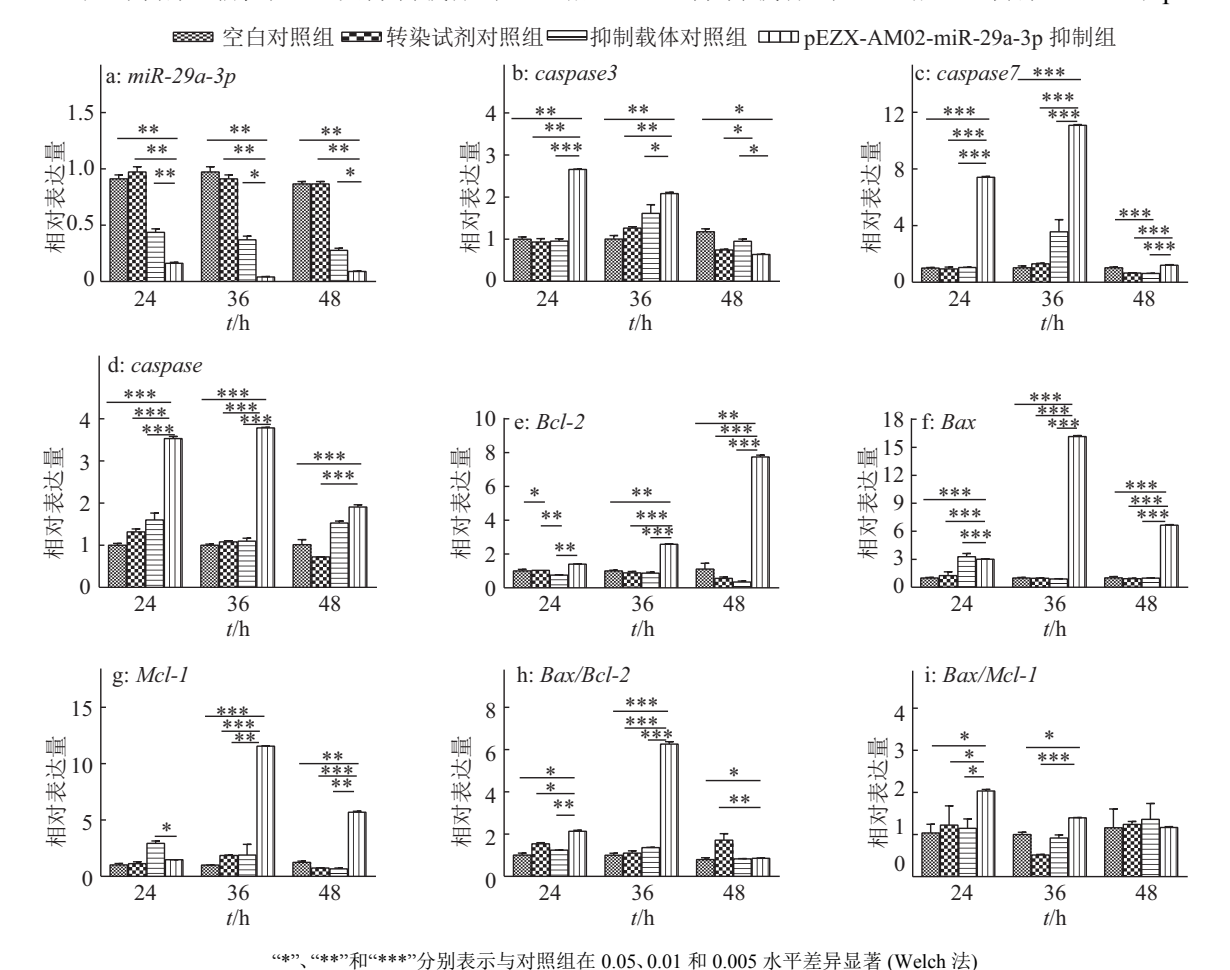


Fig. 2 The expression of genes related to apoptosis in different groups at 24, 36 and 48 h after transfection http://xuebao.scau.edu.cn

不同处理组凋亡相关基因 24、36 和 48 h 的表达

AM02-miR-29a-3p 抑制载体组中 *Bax/Bcl*-2 相对表达量升高,在转染 36 h 时与其他各对照组相比相对表达量升高,在转染 48 h 时与转染试剂对照组相比相对表达量降低,与空白对照组、抑制载体对照组相比相对表达量不变,24、36 和 48 h 的相对表达量分别为 2.13±0.08、6.26±0.20 和 0.86±0.03。在转染24 h 时 pEZX-AM02-miR-29a-3p 抑制载体组中*Bax/Mcl-1* 相对表达量较其他各对照组高,在转染48 h 时 *Bax/Mcl-1* 相对表达量与其他各对照组相近,24、36、48 h 的相对表达量与其他各对照组相近,24、36、48 h 的相对表达量与别为 2.03±0.06、1.40±0.02 和 1.17±0.03。转染后 24~48 h, pEZX-AM02-miR-29a-3p 抑制载体组中 *caspase7*、*caspase8、Bax、Mcl-1* 及 *Bax/Bcl-2* 相对表达量均呈

现先升高后降低的趋势,36 h 达到最高水平。在巨噬细胞中抑制 miR-29a-3p 表达后,miR-29a-3p 可通过靶向提高 caspase7、caspase8、Bax、Mcl-1 等基因的相对表达量来调控细胞凋亡水平。

2.3 流式细胞术检测细胞凋亡率

凋亡早期变化在细胞膜表面,磷脂酰丝氨酸(PS)由膜内暴露在外表面,Annexin V可以结合到PS。由流式分析图(图3)及数据分析图(图4)可知,检测pEZX-AM02-miR-29a-3p载体转染RAW264.7细胞后得出Annexin V与PS结合增强,PS暴露增加,凋亡率升高,且24、36和48h细胞凋亡率分别为23.47%±2.06%、76.47%±5.26%和51.90%±1.01%,均比阴性抑制载体对照组凋亡率高

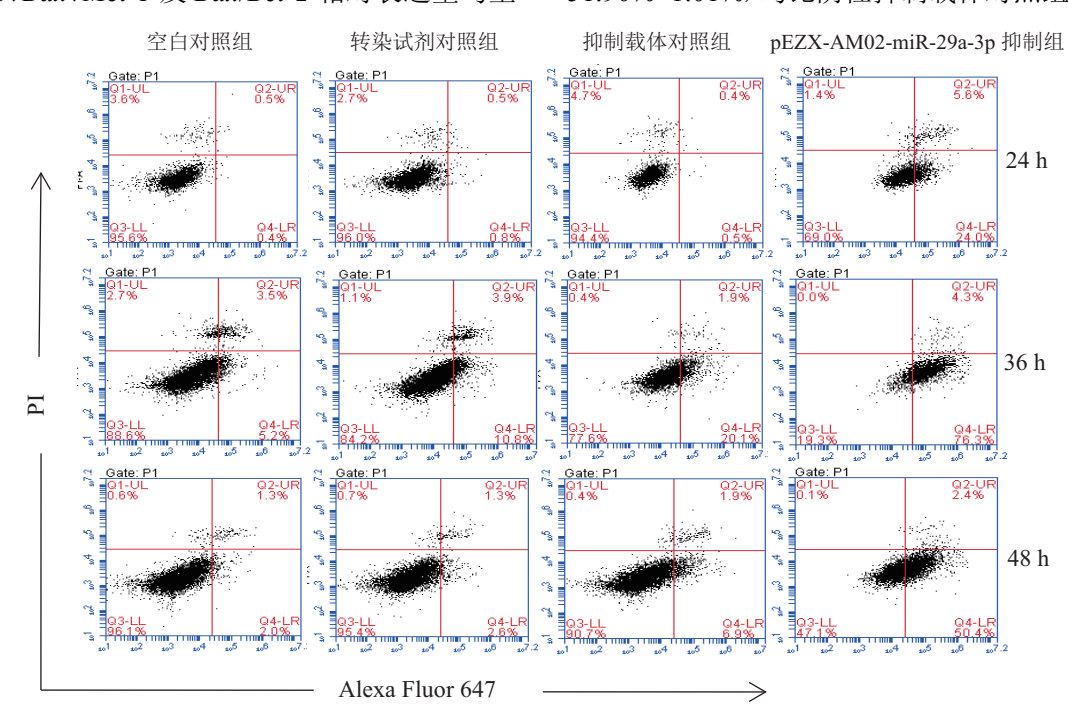
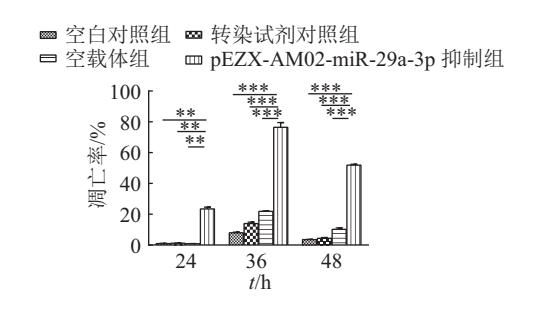


图 3 流式细胞术检测巨噬细胞凋亡

Fig. 3 Macrophages apoptosis detected by flow cytometry



"*"、"**"和"***"分别表示与对照组在 0.05、0.01 和 0.005 水平差异显著 (Welch 法)

图 4 巨噬细胞凋亡率 Fig. 4 Macrophages apoptosis rate

且差异极显著 (*P*<0.01)。其中 pEZX-AM02-miR-29a-3p 载体转染 RAW264.7 后 36 h 的凋亡率为最高。

3 讨论与结论

本试验中 pEZX-AM02-miR-29a-3p 抑制载体转染 RAW264.7 细胞后,于转染 24、36 和 48 h 后荧光定量 PCR 检测发现抑制小鼠巨噬细胞中 miR-29a-3p 的表达,且 36 h 时 miR-29a-3p 表达量最低,与之对应,流式细胞术检测到细胞凋亡率升高,且 36 h 时细胞凋亡率最高,为促凋亡作用。另外 miR-29a-3p 的靶基因中促凋亡基因 caspase3、caspase7、caspase8 及凋亡关键基因 Bax 表达量出现不同程度的升高。虽然其中抑凋亡基因 Bcl-2 与 Mcl-1 也检测到升高,但是这 2 个基因是通过与 Bcl-2 家族的促凋亡基因相互作用而影响着凋亡作用的。

http://xuebao.scau.edu.cn

Bax/Mcl-1 与 Bax/Bcl-2 表达量变化也相对升高,且 Bax/Bcl-2 表达量变化趋势与流式细胞术结果一致, 为促凋亡作用,且36h促凋亡作最强。caspase 酶是半胱氨酸天冬氨酸酶,与细胞凋亡密切相关, 其中 caspase8 为启动者, caspase3、caspase7 为执行 者。它们能够调节细胞的生长、发育和免疫应答,尤 其是一些不正常细胞的凋亡。MTB 侵入巨噬细胞 后,会引起 caspase 酶活化,同时也会引起其他部分 基因发生变化。不同毒力的 MTB 感染巨噬细胞 后,引起细胞凋亡的程度会不同。毒力株主要以 TNF-α 和 caspase 酶等通路抑制细胞凋亡。结核分 枝杆菌毒力株感染巨噬细胞后,可通过 Mcl-1 和 Bcl-2 家族的促凋亡基因结合, 从而抑制 Bcl-2 家族 促凋亡基因活性,抑制细胞凋亡,使 MTB 存活。 MTB 感染巨噬细胞以后, Bcl-2 和 Bax 会大量表达, Bcl-2 和 Bax 两者的比例会影响凋亡结果, Bcl-2 的 表达量高会利于细胞存活,而 Bax 表达量高则会促 进凋亡,另外 Mcl-1 能够抑制部分的促凋亡基因表 达,如 Bak 和 Bax,从而抑制巨噬细胞凋亡[11-14]。 Sharbati 等[10]用鸟型分枝杆菌亚种感染人源单核细 胞巨噬细胞后 miR-29a-3p 表达量上升, caspase3、 caspase7 等表达下调, 马烽[15]发现 miR-29a-3p 可以 通过靶向抑制 IFN-y 的表达影响并控制细胞受到细 菌感染的免疫反应。

结核分枝杆菌作为结核病的致病菌,其本身的存活与宿主免疫反应息息相关,而研究证实 miRNAs参与了结核分枝杆菌通过多种机制逃逸巨噬细胞的免疫杀伤,如抑制巨噬细胞凋亡、抑制溶酶体水解酶降解酸化、抑制吞噬体成熟、干扰抗原呈递、避免反应氧和反应氮产物的毒性反应、抑制自噬等,使 MTB 在体内复制[16-17]。其中巨噬细胞的凋亡作用可以有效控制 MTB 的散播及生长,对 MTB 的清除具有重要意义。而 miRNA 可通过靶向关键基因,调控凋亡或信号转导的过程,进而影响宿主细胞对 MTB 的清除。本试验为阐叙 miR-29a-3p 在 MTB 感染巨噬细胞过程中的作用提供了一定的试验依据,也为靶向调控治疗结核病、筛选新的结核病诊断标志物奠定了一定的理论基础。

本研究表明,pEZX-AM02-miR-29a-3p 载体抑制小鼠巨噬细胞中 miR-29a-3p 的表达;抑制 miR-29a-3p 表达可通过靶向上调 caspase7、caspase8、Bcl-2、Mcl-1 等基因的表达促进巨噬细胞的凋亡。

参考文献:

[1] GRIFFITHS-JONES S, GROCOCK R J, VAN DON-GEN S, et al. miRBase: microRNA sequences, targets and gene nomenclature[J]. Nucleic Acids Res, 2006, 34: http://xuebao.scau.edu.cn

- 140-144.
- [2] O'CONNELL R M, RAO D S, CHAUDHURI A A, et al. Physiological and pathological roles for microRNAs in the immune system[J]. Nat Rev Immunol, 2010, 10(2): 111-22.
- [3] FENTON M J, VERMEULEN M W. Immunopathology of tuberculosis: Roles of macrophages and monocytes [J]. Infect Immun, 1996, 64(3): 683-690.
- [4] AUGENSTREICH J, ARBUES A, SIMEONE R, et al. ESX-1 and phthiocerol dimycocerosates of *Mycobacterium tuberculosis* act in concert to cause phagosomal rupture and host cell apoptosis[J]. Cell Microbiol, 2017, 19(7): e12726.
- [5] GUPTA A, KAUL A, TSOLAKI A G, et al. *Mycobacterium tuberculosis*: Immune evasion, latency and reactivation[J]. Immunobiology, 2012, 217(3): 363-374.
- [6] LIU M, WU L, XIANG X, et al. Mycobacterium tuberculosis, effectors interfering host apoptosis signaling[J]. Apoptosis, 2015, 20(7): 883-891.
- [7] 包孟, 付玉荣, 伊正君. 微小 RNA 在机体抗结核免疫及 结核诊断中的研究进展[J]. 中华结核和呼吸杂志, 2015, 38(12): 918-921.
- [8] DAS K, SAIKOLAPPAN S, DHANDAYUTHAPANI S. Differential expression of miRNAs by macrophages infected with virulent and avirulent *Mycobacterium tuberculosis*[J]. Tuberculosis, 2013, 93(Suppl): 47-50.
- [9] 李金妹. 不同分枝杆菌侵染对巨噬细胞免疫相关基因及 microRNAs 表达的影响[D]. 长春: 吉林农业大学, 2015.
- [10] SHARBATI J, LEWIN A, KUTZLOHROFF B, et al. Integrated microRNA-mRNA-analysis of human monocyte derived macrophages upon *Mycobacterium avium* subsp. hominissuis infection[J]. Plos One, 2011, 6(6): e20258.
- [11] 董伟杰, 李微, 刘丹霞, 等. 不同毒力结核分枝杆菌感染对巨噬细胞 *caspase-3* 及 *Bcl-2* 表达的影响[J]. 中国病原生物学杂志, 2013(4): 302-306.
- [12] SLY L M, HINGLEYWILSON S M, REINERR N E, et al. Survival of *Mycobacterium tuberculosis* in host macrophages involves resistance to apoptosis dependent upon induction of antiapoptotic *Bcl-2* family member *Mcl-1*[J]. J Immunol, 2003, 170(1): 430-437.
- [13] KOZIEL J, MACIAGGUDOWSKAN A, MIKOLA-JCZYK T, et al. Phagocytosis of *Staphylococcus aureus* by macrophages exerts cytoprotective effects manifested by the upregulation of antiapoptotic factors[J]. PLoS One, 2009, 4(4): e5210.
- [14] 刘云霞,张万江.结核分枝杆菌与巨噬细胞相互作用的研究进展[J].中国细胞生物学学报,2012(6):617-622.
- [15] 马烽. microRNA 介导的 IL-10 与 IFN-γ 表达的转录后 调控机制研究[D]. 杭州: 浙江大学, 2011.
- [16] 杨静, 董剑. miRN A 与结核分枝杆菌感染的研究进展 [J]. 重庆医学, 2015(8): 1132-1134.
- [17] RAJARAM M V, NI B, DODD C E, et al. Macrophage immunoregulatory pathways in tuberculosis[J]. Semin Immumol, 2014, 26(6): 471-485.

【责任编辑 霍 欢】